



ارزیابی کارایی پروتئین A60 باکتری مایکوباکتریوم بوویس سویه BCG به عنوان پادگن تشخیصی

نفیسه شکیبا مهر^۱, نادر مصویری^۲, مهدی بابائی^۳, بهمن قبرایی^۴, ابوذر عسکری^۵ و سامرند رشادی^۱

۱- آزمایشگاه رفانس مایکوباکتریوم‌های بیماری‌زای دام، موسسه تحقیقات اکسن و سرم سازی رازی، سازمان تحقیقات آموزش و تربیت (تات)- کرج- ایران

۲- آزمایشگاه رفانس مایکوباکتریوم‌های بیماری‌زای دام، موسسه تحقیقات اکسن و سرم سازی رازی، سازمان تحقیقات آموزش و تربیت (تات)- کرج- ایران، (نویسنده مسؤول: n.mosavari@rvsri.ac.ir)

۳- باشگاه پژوهشگران جوان و نخبگان، واحد علوم و تحقیقات، دانشگاه آزاد اسلامی، تهران

۴- دانشکده علوم پایه، واحد کرج، دانشگاه آزاد اسلامی

۵- بخش بیوتکنولوژی، موسسه تحقیقات اکسن و سرم سازی رازی، سازمان تحقیقات آموزش و تربیت (تات)- کرج- ایران

تاریخ دریافت: ۹۳/۱۱/۱۱ تاریخ پذیرش: ۹۴/۸/۱۰

چکیده

بیماری سل یکی از شایع‌ترین بیماری‌های عفونی است. روش‌های رایج تشخیص سل یا زمان گیر است یا از حساسیت و ویژگی کافی برخودار نمی‌باشند. پادگن‌های مختلف مایکوباکتریایی در واکنش با سامانه ایمنی میزبان دخیل هستند و می‌توان از آنها برای تشخیص بیماری سل بهره جست. پادگن ۶۰، درشت مولکول و مقاوم به حرارت است که در مایکوباکتریوم بوویس و مایکوباکتریوم توبرکلوزیس وجود دارد. این پادگن در طراحی سیستم‌های الایزا برای تشخیص بیماری سل استفاده می‌شود. هدف از این مطالعه خالص‌سازی پادگن ۶۰ از سیتوپلاسم باکتری و ارزیابی و مقایسه کارایی آن با توبرکولین انسانی و استاندارد است. با کروماتوگرافی ژل فلیتراسیون، پادگن ۶۰ از دیگر اجزاء باکتری خالص گردید و در آگار ژل با استفاده از Anti BCG، Anti A60 و ایمنودیفیوژن و باند رسوی، تشخیص داده شد. وزن مولکولی اجزاء پادگن ۶۰ با الکتروفورز بدست آمد. با انجام کروماتوگرافی، هفت فراکسیون حاصل شد. در بررسی بلات نقطه‌ای، مشخص گردید که سیتوپلاسم و دیواره سلولی دارای پادگن ۶۰ می‌باشند. این تست نشان داد که فراکسیون یک، بیشترین شدت رنگی را ایجاد و در نتیجه بالاترین مقدار پادگن ۶۰ در این فراکسیون بود. در آگار ژل ایمنودیفیوژن نمونه سیتوپلاسم و همه فراکسیون‌های حاصل از کروماتوگرافی با Anti BCG و واکنش مثبت نشان دادند و فراکسیون یک، بیشترین میزان رسوب را در بین هفت فراکسیون دیگر ایجاد نمود. وزن مولکولی اجزاء پادگن ۶۰ در محدوده ۳۵-۴۰ کیلو دالتون تشخیص داده شد. نتایج واکنش‌های حاصل از تزریق پادگن ۶۰ و توبرکولین انسانی استاندارد بیانگر تأثیر گذاری مناسب این پادگن در قیاس با توبرکولین انسانی استاندارد بود. جستجوی پادتن در سرم بیماران روشی سریع و قابل تکرار است که با حساسیت %۹۶ و اختصاصیت %۹۴ می‌تواند ماده مناسبی برای تشخیص سل باشد. با این روش می‌توان بدون مواد یا تجهیزات پیشرفته و گران قیمت، نتایج را به سرعت فراهم کرد.

واژه‌های کلیدی: پادگن ۶۰، مایکوباکتریوم بوویس، مایکوباکتریوم توبرکلوزیس، کروماتوگرافی

مقدمه

توبرکلوزیس یک مشکل بهداشت جهانی است که بوسیله یک عامل بیماری‌زای سلولی به نام مایکوباکتریوم توبرکلوزیس (*Mycobacterium tuberculosis*) ایجاد می‌شود (۱، ۱۹). جنس مایکوباکتریوم در سال ۱۸۹۶ شناخته شد. این جنس در خانواده مایکوباکتریا و راسته اکتینومایستال قرار می‌گیرد و شامل دو گونه مایکوباکتریوم توبرکلوزیس و لبره است (۷). دو سال بعد مایکوباکتریوم بوویس و اویوم نیز شناخته شدند (۱۴). با شناسائی تعداد بیشتری از مایکوباکتریوم‌ها تقسیم‌بندی این جنس شکل پیچیده‌تری به خود گرفت. در سال‌های اخیر با مطالعات و تحقیقاتی که صورت گرفته است روش‌های جدید ایمنولوژیک سل طرح ریزی شده است که شاید در آینده نزدیک یکی از مؤثرترین کاربرد آزمایشگاهی جهت تشخیص سل در کشورهای جهان سوم باشد که از این جمله می‌توان به تحقیقات شارپین و همکارانش اشاره کرد که با بررسی پادگن ۵ جهت تشخیص سل ریوی به روش الایزا بر پایه اندازه‌گیری IgG سرم انجام شده است. آنها نشان دادند که بیماران مبتلا به سل حاد حامل مقادیر بالایی از IgG

1- *Mycobacterium leprae*

2- *Mycobacterium smegmatis*
4- *Mycobacterium avium paratuberculosis*

3- *Mycobacterium simiae*

5- *Mycobacterium bovis*

6- *Mycobacterium tuberculosis*

باکتری، همه محیط‌ها به انکوباتور 37°C منتقل گردید. به منظور تکثیر انبوی باکتری، پرگنه‌های رشد کرده در محیط لوین اشتاین- جانسون، به محیط مایع دورست هنلی منتقل گردید. محیط کشت داده شده به مدت ۲ ماه در انکوباتور 37°C نگهداری شد.

جدا کردن توده باکتری از محیط کشت مایع
هنگامی که کشت باکتری در محیط مایع به مقدار مناسب رسید، باکتری از محیط کشت خود با عبور مایع کشت از یک کاغذ صافی جدا گردید. در این مرحله قیف شیشه‌ای روی ارلن قرار گرفت و سپس کاغذ صافی قیفی شکل داخل قیف شیشه‌ای گذاشته شد. پس از باز کردن در شیشه محیط کشت، محتويات آن به آرامی روی کاغذ صافی تخلیه شد. پس آنکه قسمت مایع به طور کامل از کاغذ صافی رد شد، توده باکتری سه بار با بافر فسفاته استریل شسته شد. این عمل به منظور خارج نمودن مواد اضافی محیط کشت مایع از توده باکتری انجام گرفت.

تهیه باکتری لیزشده (پادگن خام)

مقدار حدود ۲۰۰ گرم از توده باکتری برداشته شد و روی کاغذ صافی در فور (ممتر آمریکا) به مدت یک ساعت در 80°C قرار گرفت تا باکتری‌ها کاملاً خشک شوند. باکتری‌های خشک شده در ۲۰۰ میلی‌لیتر بافر فسفاته با هم مخلوط گردید. سوسپانسیون باکتری موجود در لوله، به مدت ۳۰ ثانیه و با تقویت $100-150\text{ kHz}$ با فاصله زمانی ۳ دقیقه در مجاورت بخ منهدم گردید (۱۳). سپس لوله‌های حاوی سوسپانسیون سونیکه شده باکتری، به مدت ۱۵ دقیقه در 8000 rpm و در دمای 4°C سانتریفیوز شد (سیگما، آلمان). پس از سانتریفیوز، مایع رویی از رسوب جدا گردید. به منظور جداسازی سیتوپلاسم (مایع رویی) از دیواره سلولی (رسوب پروتئین)، مایع جدا شده مجدداً در 14000 rpm به مدت ۳۰ دقیقه در 4°C سانتریفیوز شد.

تغلیط سیتوپلاسم با سولفات آمونیوم

مقدار ۵۰ گرم سولفات آمونیوم به ۱۰۰ میلی‌لیتر محلول حاوی سیتوپلاسم که روی شیکر (IKA، آلمان) قرار دارد به تدریج در حدود یک ساعت اضافه گردید. محلول به مدت ۶ ساعت به منظور ترسیب کامل در حال گردش باقی ماند. پس از ترسیب، محلول سیتوپلاسم غلیظ به مدت ۲۴ ساعت در مقابل بافر فسفاته 0.1 M مولار توسط کسیه دیالیز با 3 kDa دالتون دیالیز شد. مراحل تغلیط و دیالیز در دمای 4°C صورت گرفت (۲۲). در ادامه مقدار پروتئین موجود در محلول مورد نظر، با استفاده از BSA به روش پروتئین سنجی تعیین شد (۱۸).

جداسازی و خالص سازی پروتئین A60

ستون سفارز 4B ($200\times 3\text{ cm}$) با بافر فسفاته 0.01 M مولار pH ۷/۲ به تعادل رسید. مقدار ۵ میلی‌لیتر از سیتوپلاسم غلیظ و دیالیز شده داخل ستون تزریق شد. ستون با همان بافری که به تعادل رسیده بود، شستشو گردید. با سرعت جریانی در حدود $3/0\text{ ml/min}$ در هر دقیقه، در هر لوله به مقدار ۲ میلی‌لیتر نمونه جمع‌آوری شد. کلیه مراحل

سیتوپلاسم را از انولوب با سانتریفوژ جدا کردند. سیتوپلاسم در اینموالکتروفورز متقاطع مورد بررسی قرار گرفت و پادگن $6\text{ }\mu\text{g}$ به عنوان نزدیکترین خط رسوی به مبدأ معرفی شد. بنابراین Rf آن بین اجزای سیتوپلاسمی BCG کوچکترین است. از آنجایی که پادگن $6\text{ }\mu\text{g}$ بر اساس مهاجرت اینموالکتروفورزیش شناخته شده، بنابراین این روش برای پیگیری کارایی روش‌های تخلیص نیز استفاده گردید (۳). با بررسی پادگن $6\text{ }\mu\text{g}$ با SDS-PAGE و جداسازی اجزاء پادتن منوکلونال، ترکیب ساختمانی این پادگن شناسایی شد. در آزمایش دقیق‌تر اجزای پادگن $6\text{ }\mu\text{g}$ در الکتروفورز با ژل اکریل آمید جدا و به غشاء نیتروسلولز و با استفاده از پادتن‌های منوکلونال بررسی شدند که در نهایت $4\text{ }\mu\text{g}$ باند مربوط به اجزای 19 و 35 و 38 و 40 kDa دالتونی تشخیص داده شدند. این اطلاعات نشان می‌دهد که پادگن $6\text{ }\mu\text{g}$ دارای چندین شاخص پادگنی است که با پادتن‌های منوکلونال موجود واکنش می‌دهد (۶). سرم افراد دچار سل دارای مقادیر بیشتر پادتن بر عليه پادگن $6\text{ }\mu\text{g}$ در مقایسه با سایر ترکیبات مایکوباکتریایی هستند. پادتن‌های ضد پادگن $6\text{ }\mu\text{g}$ می‌توانند سلول‌های BCG را آگلوتینه کنند. خاصیت پادگنی بالای این پادگن‌ها، استفاده از آن را در تشخیص بیماری مایکوباکتریایی تشویق می‌کند (۱۰). پاسخ اینمی سلولی فاکتور عمدۀ در مقاومت به مایکوباکتریوم‌هاست. در بررسی که روی خصوصیات اینمی‌زایی پادگن $6\text{ }\mu\text{g}$ انجام شد، مشاهده گردید که پادگن $6\text{ }\mu\text{g}$ پاسخ اینمی همورال را بیش از اینمی سلولی القاء می‌کند و پادتن ضد پادگن $6\text{ }\mu\text{g}$ در سرم بیماران دچار سل وجود دارد (۲). در سال‌های اخیر شیوع بیماری سل در ایران و کشورهای اطراف بیشتر شده است و با توجه به بعد وسیع، بسیار بحرانی و ضرورت، تشخیص هرچه سریعتر بیماری برای اقدام درمانی سریعتر به یک روش تشخیص سریع که نیازمند وسائل بیچیده نباشد احساس می‌گردد. متأسفانه در کشور ایران به دلیل فراوانی عفونت با انواع مایکوباکتریوم‌ها و تزریق واکسن BCG در بدرو تولد این روش از ویژگی پایینی برخوردار است. هدف این مطالعه بررسی بکارگیری روش جدید و مؤثر برای تشخیص سریع بیماری سل می‌باشد به طوری که با جستجوی پادتن با حساسیت و اختصاصیت بالا بدون مواد و یا تجهیزات پیشرفته و گران قیمت، نتایج را به سرعت بدست آورد.

مواد و روش‌ها

سوسن مورد استفاده در این تحقیق seed lot 1173 از بخش تحقیقاتی واکسن و سرمسازی رازی تهیه شد و در محیط‌های کراپوبلک و در دمای $7-40^{\circ}\text{C}$ نگهداری گردید. ستون سفارز 4B (فارماسیا، سوئد) خردباری شد.

کشت باکتری

سویه مذکور در محیط‌های لوین اشتاین- جانسون^۱ پیرووات‌دار و گلیسرین‌دار کشت داده شد. پس از کشت

۵۰ واحدی پادگن بدست آمده در مقایسه با استاندارد بین المللی توبرکولین انسانی به صورت زیر جلدی تزریق شد و پس از گذشت ۲۴ ساعت نتیجه آن قرائت گردید (۲۱).

ارزیابی کارایی پادگن ۶۰ و مقایسه آن با توبرکولین انسانی تولیدی و توبرکولین انسانی استاندارد
واحدهای پیشنهادی طبق فرانس سازمان بهداشت جهانی از پادگن ۶۰ توبرکولین انسانی تولیدی موسسه رازی و توبرکولین انسانی استاندارد تهیه شد. سپس همه رقت‌های تهیه شده به خوکچه‌های حساس با سویه گاوی و انسانی، تزریق گردید و پس از ۲۴ ساعت نتایج قرائت و با یکدیگر مقایسه شدند.

تست بی‌ضرری

مقدار ۰/۵ میلی‌لیتر از پادگن بدست آمده به صورت زیر جلدی به دو خوکچه هندی با وزن ۳۵۰-۲۵۰ گرم، تزریق شد و از روز شروع تزریق (روز صفر) به مدت یک هفته (روز هفتم) از نظر واکنش ناخواسته و یا کاهش وزن تحت کنترل قرار گرفتند. این تست به منظور بررسی سلامت این فراورده (از نظر توکسین و مواد شیمیایی به کار رفته در تهیه آن) انجام شد (۲۱).

نتایج و بحث

با مشاهده رشد کلنی‌های شیری رنگ مایکروبکتریوم بیوپس سویه BCG در محیط کشت لوین اشتاین-جانسون و کشت مجدد این کلنی‌ها بر روی محیط مایع دورست هنلی، این پرگره‌ها، از سطح محیط جمع‌آوری گردید. پس از خشک شدن این پرگره‌ها و سونیکه کردن آنها و در نهایت با استفاده از اسانتریفوگری در حدود ۱۰۰ میلی‌لیتر سیتوپلاسم بدست آمد و مقدار پروتئین آن ۷/۵ میلی‌گرم در هر میلی‌لیتر محاسبه شد. مقدار ۵ میلی‌لیتر سیتوپلاسم باکتری با کروماتوگرافی تفکیک گردید. با توجه به جذب نوری فراکسیون‌های خروجی از ستون کروماتوگرافی در طول موج ۲۸۰ نانومتر، ۷ پیک (فراکسیون) بدست آمد که به ترتیب F_۱ تا F_۷ نام‌گذاری شد. از این تعداد فراکسیون، دو فراکسیون عمدی بدست آمد که اولی در ابتدای خروجی کروماتوگرافی و دیگری در مراحل آخر از ستون بدست آمد (نمودار ۱).

کروماتوگرافی در دمای ۴ °C انجام گرفت. جذب نوری نمونه‌های جمع‌آوری شده از ستون در ۲۸۰ nm به دست آمد و نمودار مربوط به آن رسم گردید.

بلاط نقطه‌ای

کاغذ نیتروسلولز به مدت ۵ دقیقه در آب مقطر و روی کاغذ صافی قرار داده شد تا خشک گردد. ۳۰-۴۰ میکرولیتر از فراکسیون‌های مورد نظر با فاصله مناسب روی کاغذ نیتروسلولز قرار گرفت. پس از شستشو (۳ بار هر بار ۵ دقیقه) کاغذ نیتروسلولز به مدت ۱ تا ۲ ساعت در دمای ۳۷ °C در معرض پادتن اولیه قرار داده شد. سپس کاغذ نیتروسلولز شستشو گردید و به مدت یک ساعت در ۳۷ °C در معرض پادتن کثروگه قرار گرفت. در نهایت، محلول سوبسترا اضافه گردید (۹,۲۰).

آکار ژل ایمنودیفیوژن

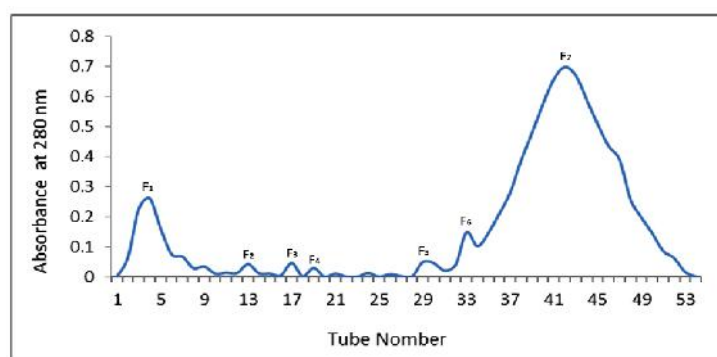
برای تهیه ژل، مقدار ۱ گرم نوبل آگار، ۸ گرم کلرید سدیم و ۰/۱ گرم سدیم آزید را در ۷۰ میلی‌لیتر آب مقطر حل شد و حجم نهایی به ۱۰۰ میلی‌لیتر رسید و توسط حرارت تا زمانی که مایع شفافی حاصل شود بخوبی حل گردید (۷/۲ pH=) محلول به مدت ۲۰ دقیقه در ۱۲۱ °C اتوکلاو شد و به میزان ۱۸ میلی‌لیتر در هر پلیت تقسیم گردید. هنگامی که ژل بسته شد گودهای مورد نیاز در ژل توسط پانچ به اندازه ۸ میلی‌متر ایجاد گردید. مقدار ۴۰ میکرولیتر از نمونه سیتوپلاسم با پادتن Anti A60 و پادتن Anti BCG، درون گودهای ژل ریخته شد و به مدت ۴۸-۷۲ ساعت در انکوباتور ۳۷ °C قرار گرفت.

ژل الکتروفورز

الکتروفورز نمونه‌های سیتوپلاسم و فراکسیون‌های حاصل از کروماتوگرافی با استفاده از روش SDS-PAGE و با ژل ۱۲ درصد (در دستگاه بیو رد، آمریکا) انجام گرفت. ژل به دست آمده با رنگ‌آمیزی کوماسی بلو رنگ‌آمیزی شد و باندهای بدست آمده مورد بررسی قرار گرفت (۱۷).

ارزیابی ردیابی ماده مؤثره

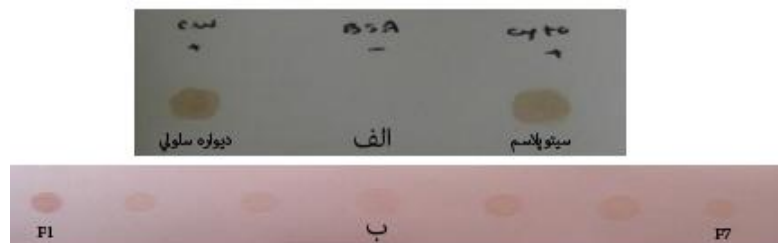
به دو سر خوکچه هندی حساس شده توسط پیکره کشته شده مایکروبکتریوم بیوپس BCG و مایکروبکتریوم توبرکلوزیس، مقدار ۱/۰ میلی‌لیتر از رقت‌های معادل ۲، ۱۰ و



نمودار ۱- ژل کروماتوگرافی سیتوپلاسم باکتری با ستون سفارز 4B
Diagram 1. Gel chromatography of bacterial cytoplasm with 4B sepharose column

فراکسیون شماره یک بیشترین لکه رنگی را به خود اختصاص می‌دهد و این نشان از وجود بالاترین مقدار پادگن ۶۰ در این فراکسیون می‌باشد. غلظت لکه رنگی به ترتیب در فراکسیون های دیگر کاهش یافت (شکل ۱: ب).

با انجام بلات نقطه‌ای، طی زمان ۱۰ تا ۲۰ دقیقه رنگ ظاهر گردید. لکه تیره رنگی که ایجاد شد، به این معنی است که هر دو جزء (سیتوپلاسم و دیواره سلولی) دارای پادگن ۶۰ می‌باشند (شکل ۱: الف). تست بلات نقطه نشان داد که



شکل ۱- بلات نقطه از دیواره سلولی، سیتوپلاسم (الف) و فراکسیون‌های حاصل از کروماتوگرافی (ب)
Figure 1. Dot blotting from the cell wall, cytoplasm (a) and fractions of chromatography (b)

نیز نمونه سیتوپلاسم و فراکسیون شماره ۱ بیشترین میزان رسوب را در بین ۷ فراکسیون دیگر ایجاد کرد (شکل ۲: ب).

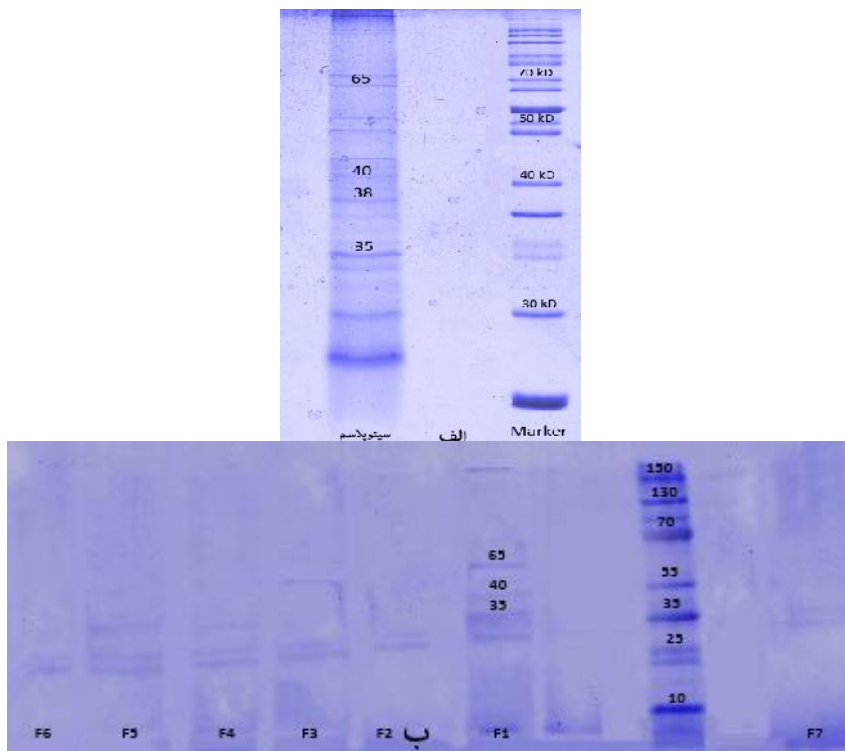
در آگار ژل ایمنودیفیوژن نمونه سیتوپلاسم و تمامی فراکسیون‌های حاصل از کروماتوگرافی با Anti BCG و Anti A60 واکنش مشت نشان دادند (شکل ۲: الف). در مورد (الف) در آگار ژل ایمنودیفیوژن نمونه سیتوپلاسم و تمامی فراکسیون‌های حاصل از کروماتوگرافی با Anti BCG و Anti A60 واکنش مشت نشان دادند (شکل ۲: الف).



شکل ۲- ایمنوژل دیفیوژن سیتوپلاسم و فراکسیون‌های خروجی از ستون کروماتوگرافی با استفاده آنتی BCG (الف) و آنتی A60 (ب)
Figure 1. Gel Immunodiffusion of cytoplasm and output fractions from chromatography column using anti BCG (a) and anti A60 (b).

همراه با دیگر فراکسیون‌ها در شکل ۳ (ب) به نمایش در آمده است.

با انجام الکتروفورز، نمونه پروتئین‌های سیتوپلاسم در کنار مارکر پروتئینی مشاهده شد (شکل ۳: الف). وزن‌های مولکولی باند اول مربوط به فراکسیون شماره یک (پادگن ۶۰



شکل ۳- الکتروفورز نمونه بروتئین‌های سیتوپلاسم (الف) و فراکسیون‌های حاصل از آن (ب)
Figure 3. Electrophoresis of the cytoplasm proteins sample (a) and its fractions (b)

توبرکلوزیس، پس از طی ۲۴ ساعت نتایج آن به صورت رویت
هاله قرمز رنگ در محل تزریق مشاهده گردید (شکل ۴).

با تزریق مقدار ۱/۰ میلی‌لیتر از استاندارد بین المللی
توبرکولین انسانی و پادگن A60 به دو خوکچه هندی حساس
شده توسط مایکوباکتریوم بوسیس BCG و مایکوباکتریوم



شکل ۴- تزریق پادگن ۶۰ و استاندارد توبرکولین انسانی و مشاهده نتایج تزریق به شکل هاله قرمز رنگ
Figure 4. Injection of antigen 60 and human tuberculin standard and observation of the injection results in the form of a red zone

بر اساس اعداد بدست آمده در خوکچه حساس با سویه انسانی نتایج
واکنش‌های حاصل از تزریق پادگن ۶۰ و توبرکولین انسانی
استاندارد بیانگر تاثیرگذاری مناسب این پادگن در قیاس با
توبرکولین انسانی استاندارد می‌باشد (جدول ۱).
گاوی، پادگن ۶۰ در مقایسه با توبرکولین انسانی استاندارد در
رقت‌های یکسان از کارایی بالای برخوردار است. در خوکچه
حساس با سویه انسانی، پادگن ۶۰ در مقایسه با توبرکولین
انسانی تولیدی موسسه رازی نیز از کارایی مناسبی برخوردار

جدول ۱- مشخصات و نتایج تزریق آنتی ژن ۶۰ توبرکولین انسانی ساخت موسسه رازی و توبرکولین انسانی استاندارد
Table 1. Specifications and results of injection of antigen 60 human tuberculin from the Razi institute and standard human tuberculin

		نوع ماده	رقت های پیشنهادی WHO	نوع ماده تزریقی	رقت های پیشنهادی WHO
		تزریقی	۱/۲۰۰	۱/۵۰۰۰	۱/۲۰۰
			۱/۱۰۰		۱/۱۰۰
حیوان حساس به	A 60	۲۳	۱۵	۸	۲۰
ب شر					۱۰
حیوان حساس به	A 60	۱۸	۱۰	۱۰	۱۵
توبرکولوزیس					۱۳/۵
حیوان حساس به	A 60	۱۵	۱۰	۸	۱۵
توبرکولوزیس					۱۳
					۷

مایکوباتریوم بوسس می باشد و بیشتر اجزای مایکوباتریوم بوسس که با سرم بیماران سلی واکنش می دهن، در پادگن ۶۰ موجود است (۴). جدا شدن پادگن ۶۰ در اولین فراکسیون های ستون سفارز ۴B و نتایج مطالعات قبلی تأییدی بر وزن بالای حدود ۱۰^۷ دالتون این پادگن دارد. باندهای پروتئینی پادگن ۶۰ در ژل الکتروفورز، تکنیک گردید. با آنالیز باندها وزن های ۳۵، ۳۸ و ۶۵ کیلو دالتون ظاهر شدند که این نتایج تأییدی بر درستی نتایج الکتروفورز در این تحقیق است (۱۰). در سال ۱۹۹۴، با استفاده از پادتن منوکلونال آنتی ریبوارابینومانان، حالت اسمیر در ناحیه ۳۵ تا ۴۰ کیلو دالتون مشاهده شد. این تحقیق و دیگر تحقیقات در این زمینه بیانگر وجود ترکیبات متعدد پروتئینی و لپیدی و لیپو پروتئینی و لیپو پلی ساکاریدی در پادگن ۶۰ می باشد (۵،۶).

امروزه برای افزایش اختصاصیت تست سعی برآن است که پروتئین هایی که در پادگن ۶۰ خاصیت پادگنیسیته بیشتری دارند و اختصاصی مایکوباتریوم توبرکولوزیس می باشند (مانند پروتئین ۳۸ کیلو دالتون) را با روش های نوترکبی تهیه نمایند و برای تهیه کیت الایزا جهت تشخیص سل بکار ببرند (۱۲). اجزای پادگن ۶۰ اجزایی با رنج وزن مولکولی ۴۴-۵۵ کیلو دالتون و ۲۸-۳۵ کیلو دالتون طی بیماری سل، تولید ایترفرون گاما را القا می کنند و می توانند کاندیداهای مناسبی برای تهیه واکسن القا کننده پاسخ ایمنی محافظت کننده باشند (۸،۱۶).

تشکر و قدردانی

این کار از نظر مالی توسط موسسه تحقیقات واکسن و سرم سازی رازی مورد حمایت قرار گرفت. با سپاس فراوان از تمام کارکنان موسسه رازی که در این تحقیق ما را باری کردن

با مقدار ۵/۰ میلی لیتر از A60، در پایان ۷ روز هیچ گونه کاهش وزن یا مشکلی از نظر سلامت حیوانات مشاهده نگردید که بیانگر بی ضرر بودن این فراورده می باشد. مایکوباتریومها بواسطه داشتن پادگن های متعدد با سیستم ایمنی میزبان واکنش دارند. شناسایی این پادگن ها نقش مهمی را در شناسایی و حفاظت علیه مایکوباتریومها ایفا می کنند. از جمله پادگن های مایکوباتریومی که نقش مهمی را در این پدیده ایفا می کنند، پادگن های مقاوم به حرارت می باشند. در تحقیقات قبلی کوکیتو و همکارانش در سال ۱۹۸۶ BCG را که از انسیتیو باستور فرانسه تهیه شده بود، در محیط دوبوس کشت دادند. نتایج حاصل از آن پژوهش مشابه تحقیق موجود می باشد. کوکیتو و همکارانش از ستون سفارز 6B به برای جداسازی آنتی ژن استفاده کردند که نتایج حاصل از آن با جداسازی در این تحقیق مشابه می باشد (۴). از آنجایی که پادگن ۶۰ سنگین ترین جزء سیتوپلاسم باکتری می باشد، جزء اولین فراکسیون هایی است که از ستون خارج می شود (۳). برای تأیید این مطلب و بررسی خلوص پادگن جدا شده، با انجام بلات نقطه ای از اجزاء جدا شده از ستون با استفاده از پادتن Anti A60 وجود پادگن ۶۰ در فراکسیون های اولیه جدا شده از ستون کروماتوگرافی تأیید گردید. اینسوژ دیفیوژن با استفاده از Anti BCG نشان داد که در محل تلاقی پادگن با پادتن باند رسوی ایجاد می شود. طبق تحقیقات قبلی پادگن ۶۰ دارای اجزای لپیدی، پلی ساکاریدی و پروتئینی می باشد که هر سه جزء پادگن توانایی اتصال با پادتن های مربوطه را دارند و خطوط رسوی را تشکیل می دهند که این مسئله در مورد اجزای لیپو پروتئینی و لیپو پلی ساکاریدی قابل توجیه است و در مورد جزء لیپید آزاد خاصیت ایمنی کمتری مشاهده می شود (۳). ۸۵ درصد پادتن های ضد مایکوباتریومی در سرم بیماران مبتلا به سل بر علیه پادگن های مقاوم به حرارت مایکوباتریوم توبرکولوزیس و

منابع

1. Charpin, D., H. Herbault, M.J. Gevaudan, M. Saadjian, de P. Micco, A. Arnaud, D. Vervloet and J. Charpin. 1990. Value of ELISA using A60 antigen in the diagnosis of active pulmonary tuberculosis. Am Rev Respir Dis, 142: 380-4.
2. Cocito, C. 1987. Immunological properties of A60 of BCG induction of humoral and cellular immune reaction. Scand J Immunol, 25: 579-85.
3. Cocito, C. 1991. Properties of the mycobacterial antigen complex A60 and its application to the diagnosis and prognosis of TB. Chest, 100: 1687-93.
4. Cocito, C. and F. Vanlinden. 1986. Preparation and properties of antigen 60 from *Mycobacterium bovis* BCG. Clin Exp Immunol, 66: 262-72.
5. Cocito, C. and F. Vanlinden. 1988. Subcellular localisation and sedimentation behaviour of antigen 60 from *Mycobacterium bovis* BCG. Med Microbiol Immunol, 177: 15-25.
6. Coetsier, C., M.C. Baeldens, M. Coene and C. Cocito. 1994. Immunological analysis of the components of the antigen complex A60 of *Mycobacterium bovis* BCG. Clin Diagn Lab Immunol, 1: 139-144.
7. Davies, P.D.O. 1998. Clinical Tuberculosis chapman and Hall. (2nd Ed.) London, UK, 55-80 pp.
8. Dupont, C., K. Thompson, C. Heuer, B. Gicquel and A. Murray. 2005. Identification and characterization of an immunogenic 22 kDa exported protein of *Mycobacterium avium subspecies paratuberculosis*. J Med Microbiol, 54: 1083-92.
9. Ferencik, M. 1993. Hand book of Immunochemistry, Chapman and Hall. (First Ed) New Delhi, Del, India, 336-341.
10. Gilot, P. and M. Coene. 1994. Thermostable macromolecular antigens from mycobacteria. Can J Microbiol, 40: 605-11.
11. Guta, S., J. Casal, S. Napp, L. Saez, A. Garcia-Saenz, Perez, B. deVal, B. Romero, J. Alvarez and A. Alvarez. 2014. Epidemiological investigation of bovin tuberculosis herd breakdowns in Spain 2009/2011. PLoS One, 15: 74-81.
12. Harboe, M. and H.G. Wiker. 1992. The 38-kDa Protein of *Mycobacterium tuberculosis*: A Review. J Infect Dis, 166: 874-84.
13. Harris, E. and S. Angel. 1990. Protein purification methods: A practical approach; IRL Press at Oxford University Press. (First Ed) Oxford, pp: 200-310.
14. Hoeprich, P.D. 1983. Infectious disease Harper and Row. (3rd ed) Philadelfia, 122-40 pp.
15. Hubbard, R.D., C.M. Florry and C. Cocito. 1992. Immunization of mice with the Antigen A60 of *Mycobacterium bovis* BCG. Clin exp Immunol, 88: 129-31.
16. Kavid, N., R. Madani, S. Hosseinkhani, N. Mosavari, F. Golchinfar, T. Emam and R. Keshavarz. 2012. Evaluation of immunogenicity of purified cell wall-associated 34 kDa antigen of *Mycobacterium avium subsp. paratuberculosis* infection. Hybridoma, 31: 163-167.
17. Laemmli, U.K. 1970. Cleavage of structural proteins during the assembly of the head of bacteriophage T4. Nature, 227: 680-685.
18. Lowry, O.H., N.J. Rosebrough, A.L. Farr and R.J. Randall. 1951. Protein measurement with the Folin phenol reagent. J Biol Chem, 1: 265-75.
19. Lozano, R. 2012. Global and regional mortality from 235 causes of death for 20 age groups in 1990 and 2010: a systematic analysis for the Global Burden of Disease Study 2010. Lancet, 380: 2095-128.
20. Rapley, R. and J. Walker. 2008. Molecular Biomethods Hand book. (2nd Ed) Michigan, pp: 651-60.
21. Serena, T.E. 2014. A Global Perspective on Wound Care, 13: 548-52.
22. Zeinali, M., M. Jammalan, S. Ardestani and N. Mosaveri. 2009. Immunological and cytotoxicological characterization of tuberculin purifiedprotein derivative (PPD) conjugated to single-walled carbon nanotubes. Immunology Letters, 126: 48-53.

Evaluate the Efficiency of A60 Protein from BCG Strain of *Mycobacterium Bovis* as a Diagnostic Antigen

Nafiseh Shakibamehr¹, Nader Mosavari², Mahdi Babaie³, Bahman Tabraie⁴, Abozar Askari⁵ and Samerand Reshady¹

1- Department of Tuberculin and Mallein Production and Research, Razi Vaccine and Serum Research Institute
2- Department of Tuberculin and Mallein Production and Research, Razi Vaccine and Serum Research Institute,

Karaj (Corresponding author: n.mosavari@rvsri.ac.ir)

3- Young Researchers and Elites club, Science and Research Branch, Islamic Azad University, Tehran

4- Department of Basic Science, Karaj Branch, Islamic Azad University, Karaj

5- Department of Biotechnology, Razi Vaccine and Serum Research Institute, Karaj

Received: January 31, 2015

Accepted: November 1, 2015

Abstract

Tuberculosis is the most common infectious diseases. Current diagnostic methods are either slow or lack enough sensitivity or specificity. Several mycobacterial antigens are involved in the complex interaction with the immune system of the host. They can be helpful for mycobacteria diagnosis. Antigen 60 (A60) is thermostable antigen found in *Mycobacterium bovis* and *Mycobacterium tuberculosis*. This antigen, are used in ELISA systems design for diagnosis of tuberculosis. The aim of this study is purification of A60 from bacterial cytoplasm and evaluating and compare its efficiency with standard human tuberculin. With filtration chromatography, A60 were purified from other bacterial components. A60 was recognized by agar gel Immunodiffusion with anti BCG and Anti A60 antiserum, where formed immunoprecipitationen line with anti BCG anti serum and anti A60 anti serum. Molecular weight components of the A60 was obtained using electrophoresis. By chromatography, seven fractions obtained. Dot blot analyzing showed that, cytoplasm and cell wall of BCG contained A60. This test showed that first fraction created maximum color intensity and as a result, the highest amount of A60 was in the fractions one. In agar gel immunodiffusion, cytoplasm sample and all fractions obtained from chromatography showed positive reaction with anti A60 anti serum and fraction one, had highest amount of sediment among the other fractions. Molecular weight components of the A60 were identified about 35, 38, 40 and 65 kD. Results of reactions from injected A60 and standard human tuberculin showed the effectiveness of this antigen in comparison with standard human tuberculin. Detection of antibody in the serum of patients is rapid and repeatable method. A60 with 89% sensitivity and 94% specificity could be an appropriate matter for the diagnosis of tuberculosis. With this method, without any advanced and expensive equipments or materials we can achieve the desired results as quickly as possible.

Keywords: Antigen 60, Chromatography, *Mycobacterium bovis*, *Mycobacterium tuberculosis*